

# Analyse dynamique d'une caméra câblée



Etudier la relation entre la trajectoire d'une caméra câblée et son système de support et de commande. Déterminer les paramètres influant sur le système afin d'assurer les performances souhaitées.

N° d'inscription : 10695

# PLAN

## Etude théorique et simulation

- Présentation et modélisation
- Analyse dynamique
- Simulation et résultats

## Expérimentation

- Elaboration du cahier des charges
- Présentation, objectifs et protocole
- Comparaison aux résultats théoriques



# Présentation et modélisation

## Hypothèses simplificatrices

- Caméra ponctuelle
- Poulies de rayon négligeable par rapport à la dimension du terrain
- Câbles supposés inextensibles et tendus.

## Modélisation des câbles

$$k = \sqrt{x^2 + y^2 + z^2}$$

$$h = \sqrt{(d-x)^2 + y^2 + z^2}$$

$$m = \sqrt{(d-x)^2 + (s-y)^2 + z^2}$$

$$n = \sqrt{x^2 + (s-y)^2 + z^2}$$

## Modélisation des moteurs

$$R\dot{\theta}_1 = \dot{m} + \dot{h}$$

$$R\dot{\theta}_2 = \dot{k} + \dot{h}$$

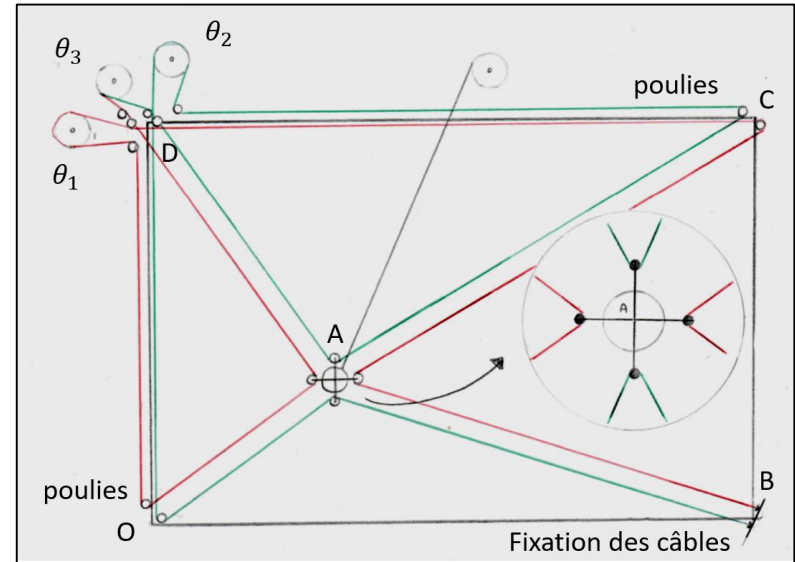
$$R\dot{\theta}_3 = \dot{m} + \dot{n} + \dot{k} + \dot{h}$$

(R : rayon de chaque moteur)

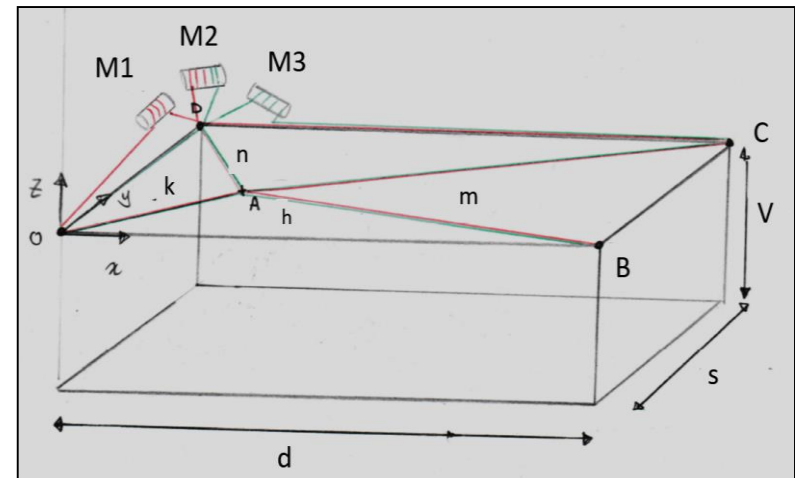
## Relation entre la vitesse de rotation des moteurs et la vitesse de la caméra

On note  $X = \begin{bmatrix} x \\ y \\ z \end{bmatrix}$  et  $H = \begin{bmatrix} \theta_1 \\ \theta_2 \\ \theta_3 \end{bmatrix}$  :  $\dot{H} = P\dot{X}$

$$P = \frac{1}{R} \begin{bmatrix} \frac{-(d-x)}{m} + \frac{-(d-x)}{h} & \frac{-(s-y)}{m} + \frac{y}{h} & \frac{z}{m} + \frac{z}{h} \\ \frac{x}{k} + \frac{-(d-x)}{h} & \frac{y}{k} + \frac{y}{h} & \frac{z}{k} + \frac{z}{h} \\ \frac{-(d-x)}{m} + \frac{x}{n} + \frac{x}{k} + \frac{-(d-x)}{h} & \frac{-(s-y)}{m} + \frac{-(s-y)}{n} + \frac{y}{k} + \frac{y}{h} & \frac{z}{m} + \frac{z}{n} + \frac{z}{k} + \frac{z}{h} \end{bmatrix}$$



Vue de dessus



Modélisation du système en 3 dimensions

# Modélisation des moteurs

Pour  $i \in \llbracket 1,3 \rrbracket$ ,

## Caractéristiques MCC

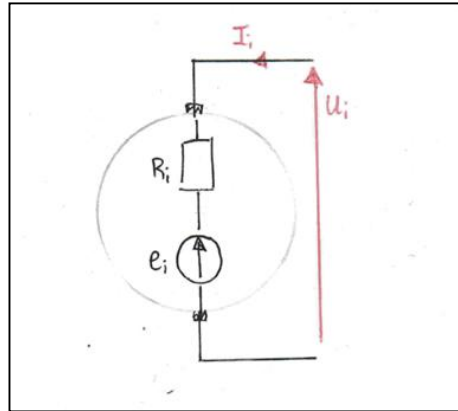
$R_i$  : résistance d'induit

$E_i$  : fem à vide

$C_m$  : couple moteur

$J_i$  : moment d'inertie

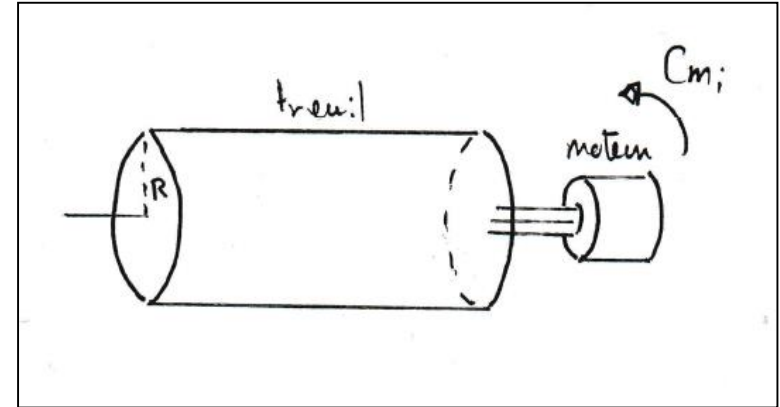
On note  $U = \begin{bmatrix} U_1 \\ U_2 \\ U_3 \end{bmatrix}$  et  $F = \begin{bmatrix} F_1 \\ F_2 \\ F_3 \end{bmatrix}$



Modélisation électrique

## Equation électrique

$$Cm_i = Ki_i(U_i - Ke_i\dot{\theta}_i)/R_i$$



Modélisation mécanique

## Equation mécanique

$$J_i\ddot{\theta}_i = Cm_i - Cr_i - \lambda_i\dot{\theta}_i$$

$$U = \begin{bmatrix} \frac{R_1 J_1}{K i_1} & 0 & 0 \\ 0 & \frac{R_2 J_2}{K i_2} & 0 \\ 0 & 0 & \frac{R_3 J_3}{K i_3} \end{bmatrix} \ddot{H} + \begin{bmatrix} Ke_1 + \frac{\lambda_1 J_1}{K i_1} & 0 & 0 \\ 0 & Ke_2 + \frac{\lambda_2 J_2}{K i_2} & 0 \\ 0 & 0 & Ke_3 + \frac{\lambda_3 J_3}{K i_3} \end{bmatrix} \dot{H} + R \begin{bmatrix} \frac{R_1}{K i_1} & 0 & 0 \\ 0 & \frac{R_2}{K i_2} & 0 \\ 0 & 0 & \frac{R_3}{K i_3} \end{bmatrix} F$$

$$U = G\ddot{H} + L\dot{H} + RSF$$

# Equation de mouvement

## Force de tension résultante des câbles

$$\vec{T} = (T_k^r + T_k^v) \frac{\vec{AO}}{k} + (T_n^r + T_n^v) \frac{\vec{AD}}{n} + (T_m^r + T_m^v) \frac{\vec{AC}}{m} + (T_h^r + T_h^v) \frac{\vec{AB}}{h}$$

Relation avec F :

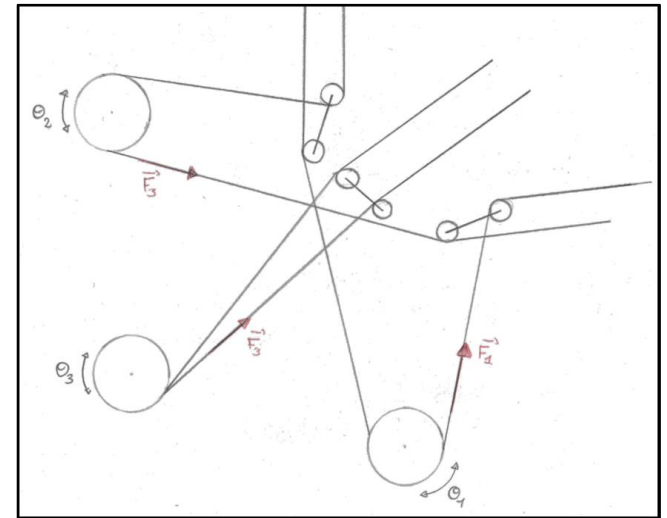
$$F_1 = +T_k^r - T_m^r, \quad F_2 = +T_m^v - T_k^v, \quad F_3 = +T_m^v - T_m^r$$

Conservation de la tension au point d'accroche :

$$T_k^v = T_h^v, \quad T_k^r = T_n^r, \quad T_n^b = T_m^v, \quad T_h^r = T_m^r$$

Répartition équitable au niveau du troisième moteur :

$$T_n^v = T_n^r$$



Forces de tension au niveau des 3 moteurs

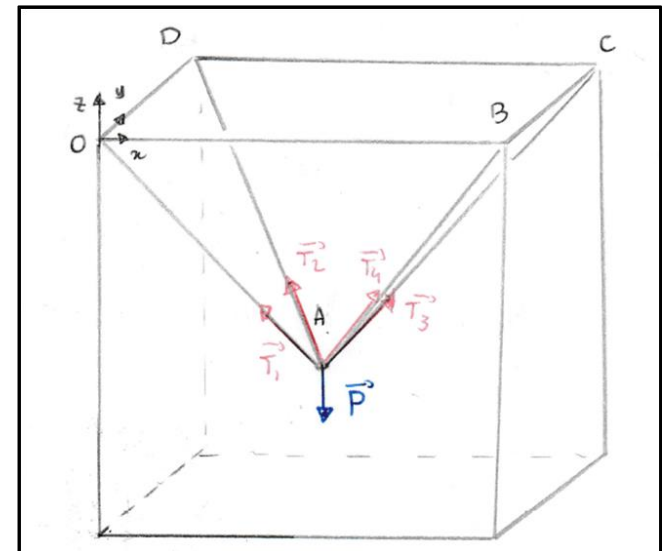
## Relation entre les forces de tension au sein des moteurs et celles au sein de la caméra

On note  $T = \begin{bmatrix} T_x \\ T_y \\ T_z \end{bmatrix}$  et  $F = \begin{bmatrix} F_1 \\ F_2 \\ F_3 \end{bmatrix}$ ,  $T = RP^T F$

## Principe fondamental de la dynamique

$$m_A \vec{A} = \vec{P} + \vec{T} + \vec{F}_{frott} + \vec{F}_{pert}$$

$$F = R(P^T)^{-1}(m_A \ddot{X} + P - F_{pert,tot})$$



Résultante des forces au niveau de la caméra

# Résolution numérique

## Relation entre la rotation des moteur et la position de la caméra

$$\dot{H} = P\dot{X}$$

## Equation de mouvement

$$U = G\ddot{H} + L\dot{H} + RSF$$

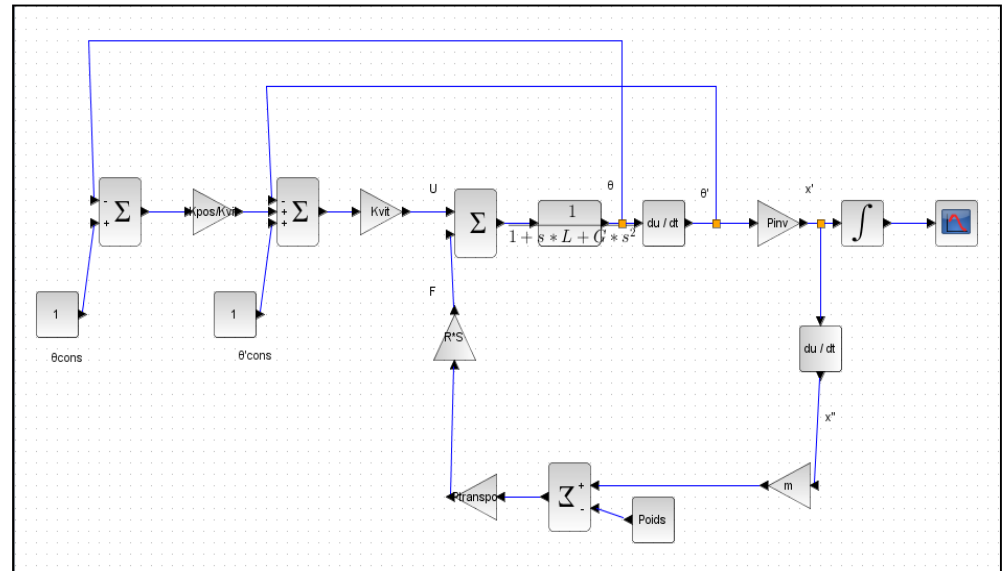
$$\text{Avec } \ddot{H} = P\ddot{X} + \dot{P}\dot{X} = P\ddot{X} + \begin{bmatrix} t_{x1}Z_1\dot{X} \\ t_{x2}Z_2\dot{X} \\ t_{x3}Z_3\dot{X} \end{bmatrix}$$

## Expression de la force résultant du PFD

$$F = R(P^T)^{-1}(m_A\ddot{X} + P - F_{pert,tot})$$

## Loi de commande

$$U = K_{vit}(\dot{H} - \dot{H}^\circ) + K_{pos}(H - H^\circ)$$

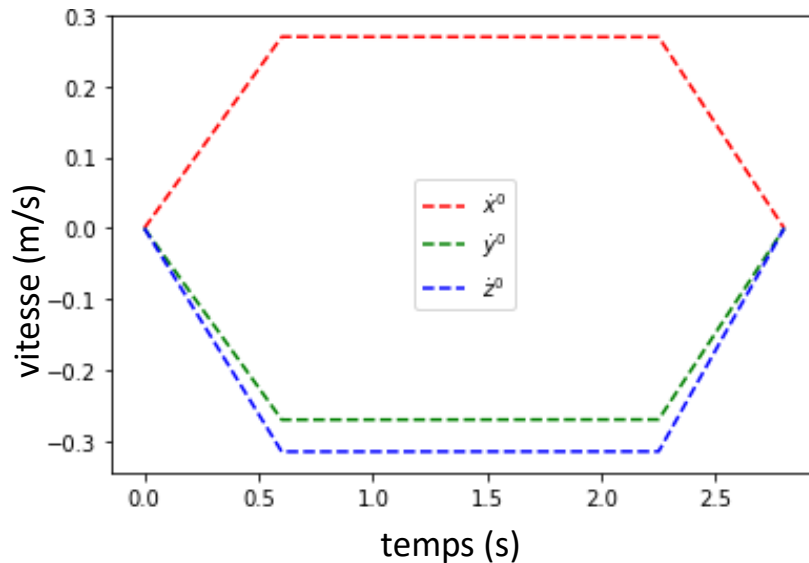


# Commande simulation

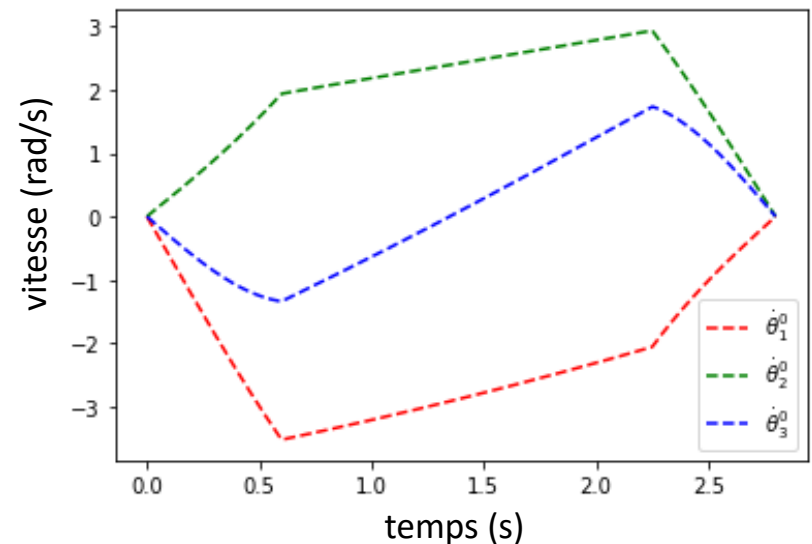
## Données numériques

$g=9.81$	# Accélération de la pesanteur
$m_A=1$	# Masse de la caméra et du support
$d=3.2; s=2.2; v=2.0; STADE=[d,s,v]$	# Dimension du stade
$R=0.15$	# Rayon des treuils
$R1=0.917; R2=0.917; R3=0.917$	# Résistance d'induit des moteurs
$J1=1.5859; J2=1.5859; J3=1.5859;$	# Moment d'inertie des treuils
$k_{I1}=2.51945; k_{I2}=2.51945; k_{I3}=2.51945;$	# Constante liant couple et courant des moteurs
$k_{E1}=3.3942; k_{E2}=3.3942; k_{E3}=3.3942;$	# Constante liant vitesse et fem des moteurs
$l_{a1}=0.0670; l_{a2}=0.0670; l_{a3}=0.0670;$	# Coefficient de frottement des moteurs
$K_{pos}=4200; K_{vit}=130;$	# Gains des correcteurs

Vitesse de référence

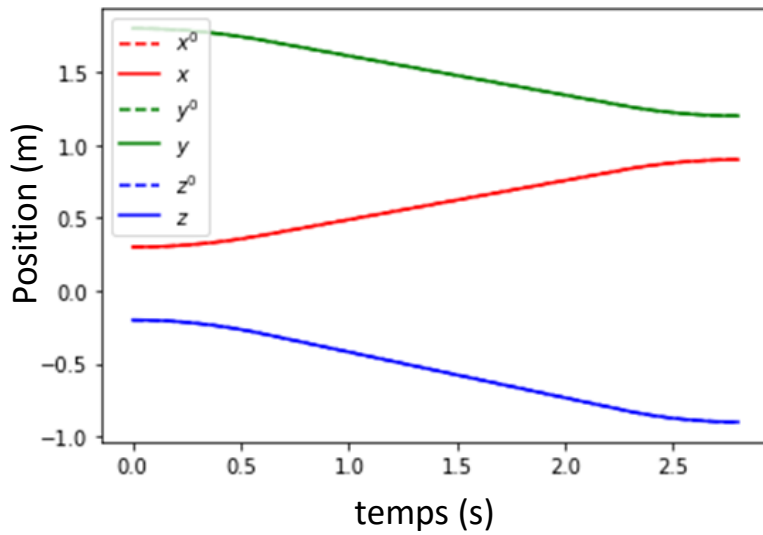


Vitesse de rotation de référence des moteurs

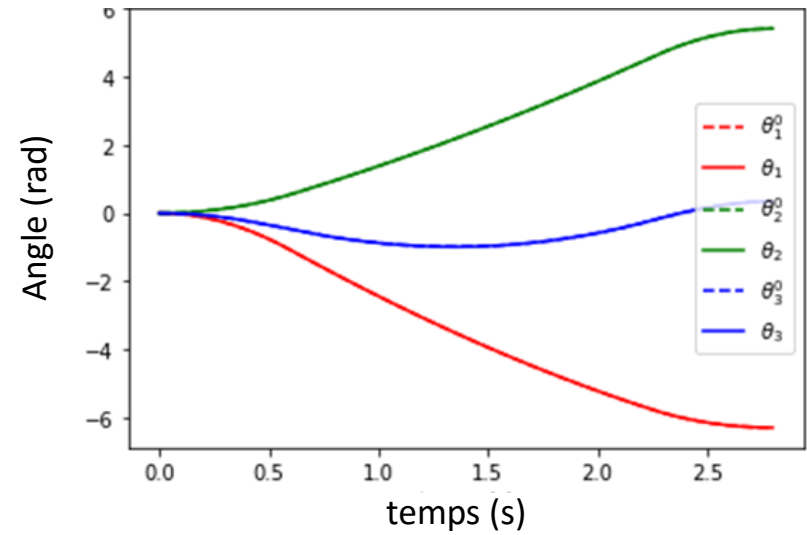


# Résultats simulation

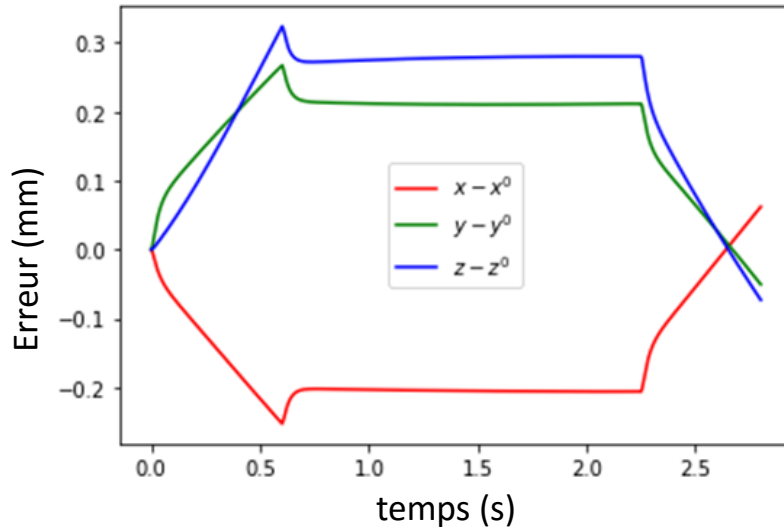
Position de la caméra



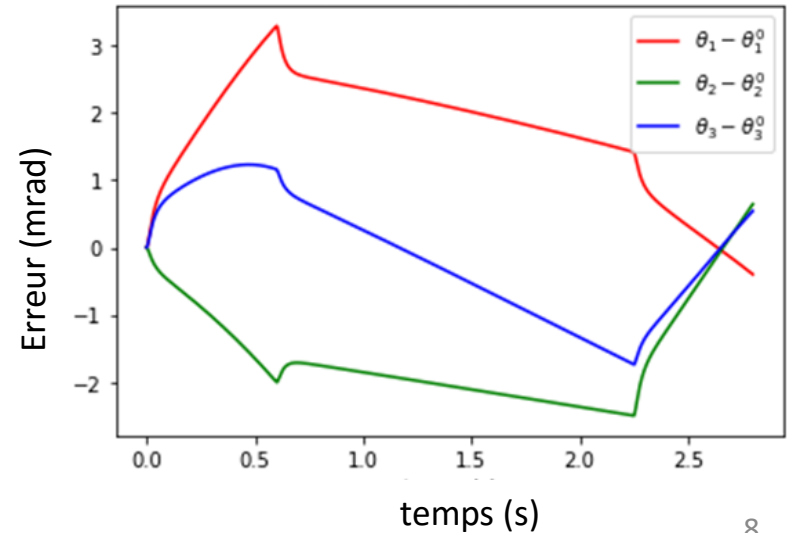
Position angulaire des moteurs



Erreur de position de la caméra



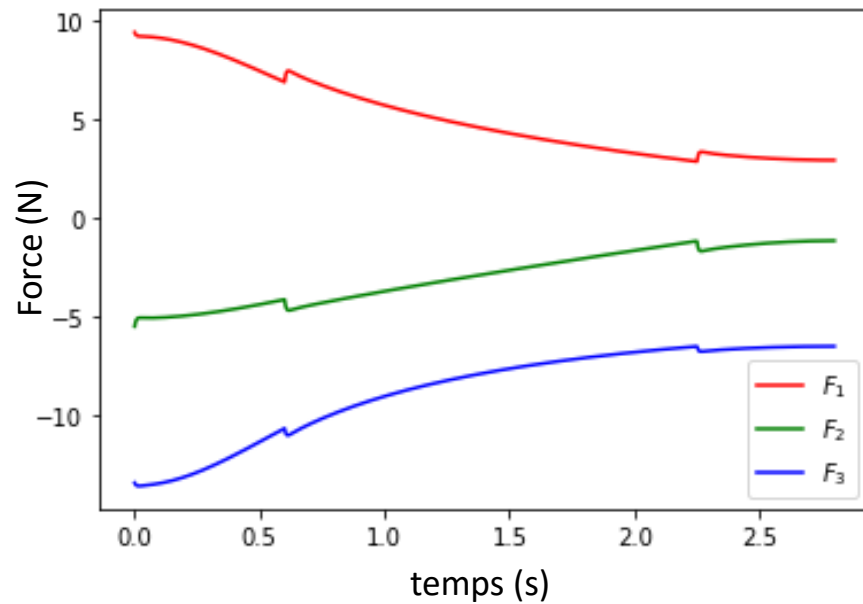
Erreur de position angulaire des moteurs



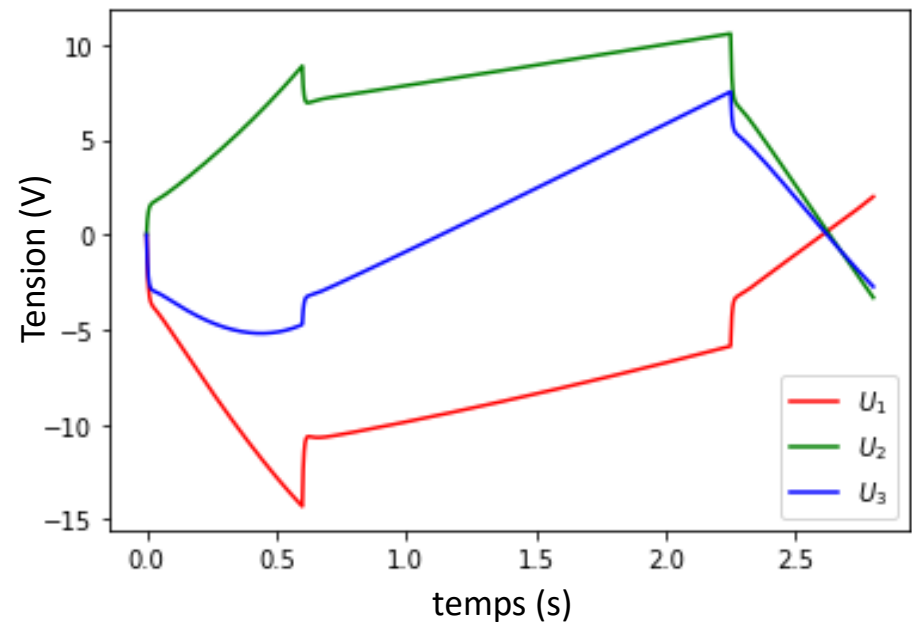


# Résultats simulation

Force de tension au niveau des 3 treuils



Tension de commande des moteurs



# Présentation du modèle expérimental

## Objectifs :

- Réaliser une trajectoire prédéfinie
- Confirmer les relations du PGD, PGI

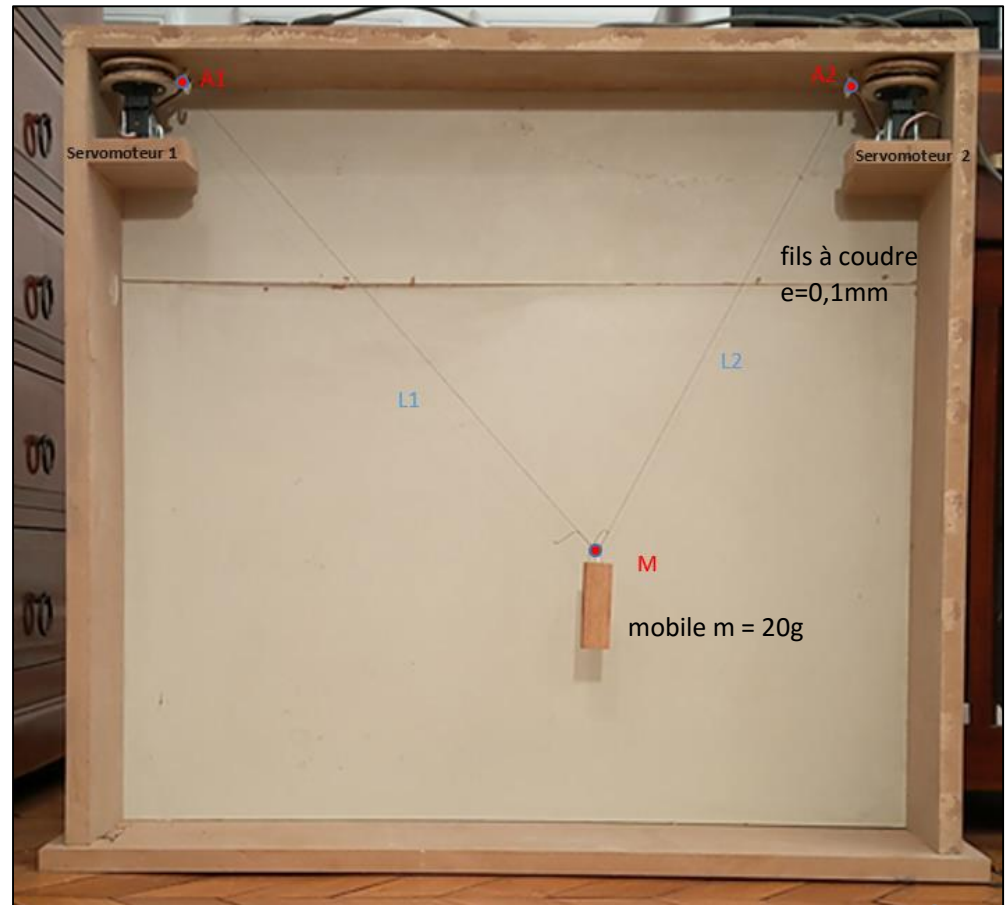
### Servomoteur avec poulie (rayon $r = 2,8$ cm)



### Carte Arduino avec moteur shield



### Banc d'essai (56x64cm): système de poulie avec servomoteurs

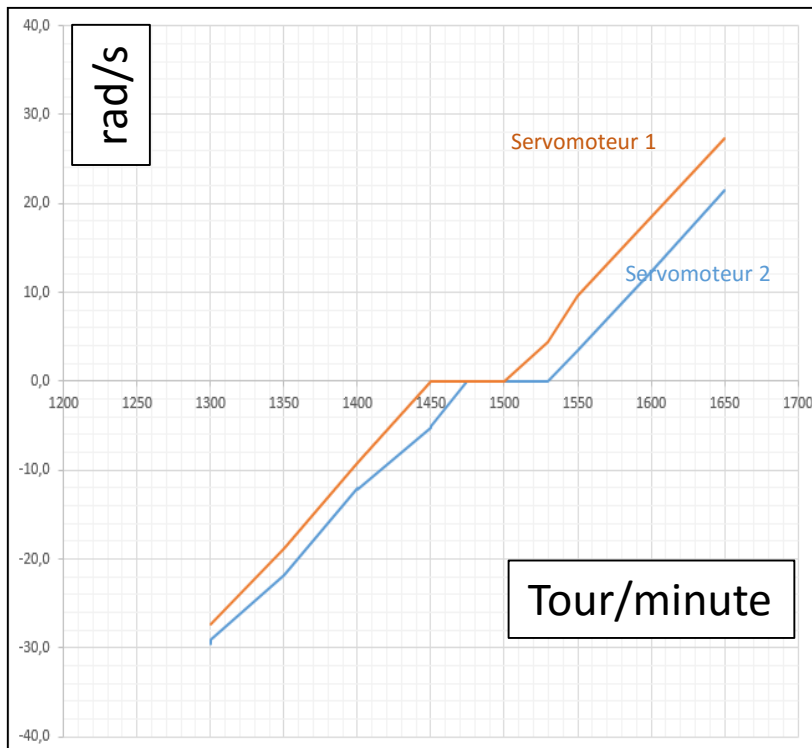


# Cahier des charges

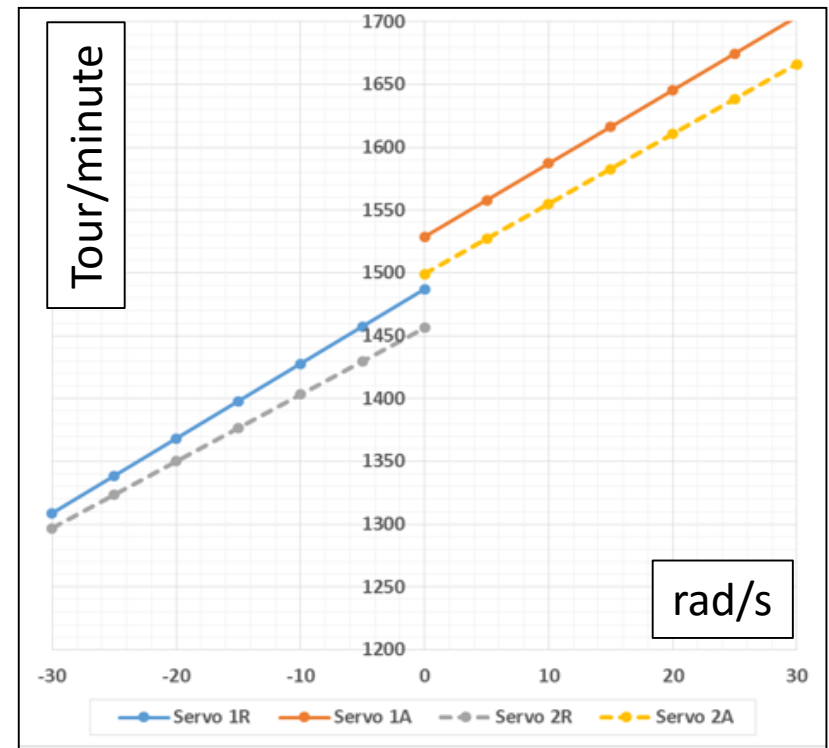
<u>Exigences</u>	<u>Contraintes</u>	<u>Niveau</u>
Se déplacer dans un espace prédéfini	Plan de travail Perte de hauteur Tension maximale dans chaque câble	[0.64 m, 0.56 m] <10% 5 N
Architecture du robot	Masse du robot soutenable	> 0,100 kg
Avoir une vitesse importante	Vitesse maximale caméra	>0.05 m/s
Contrôle du robot	Respecte la position Respecte la vitesse	+10% max de position consigne +10% max de vitesse consigne
Ne pas déranger les téléspectateurs	Finesse câble	<1mm

# Loi de vitesse : commande des servomoteurs

Mesure de vitesse pour une commande fixée

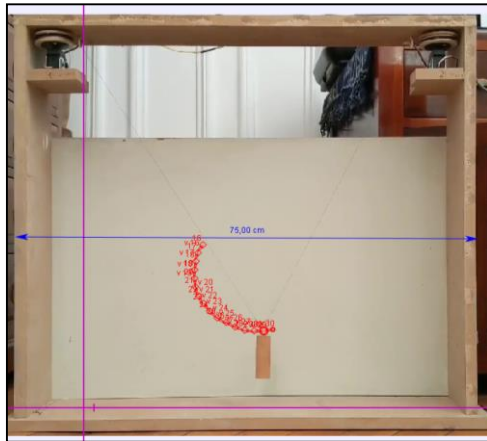


Relation linéaire inversée pour la commande

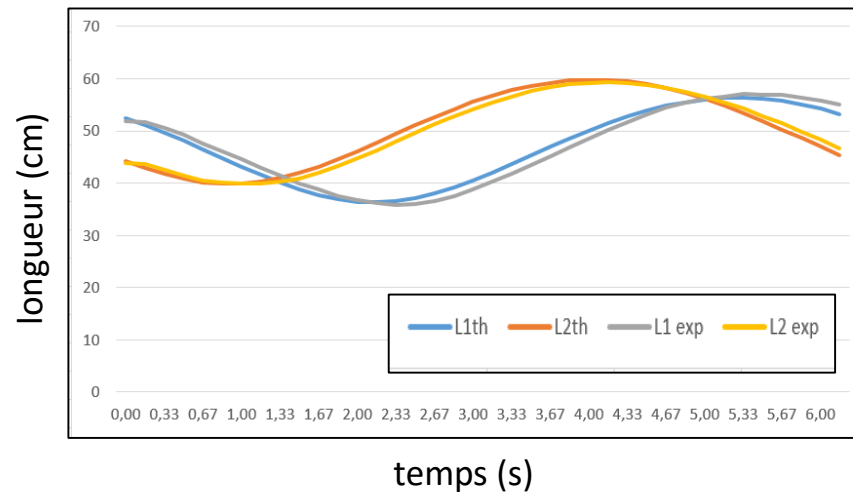


# Comparaison avec la commande

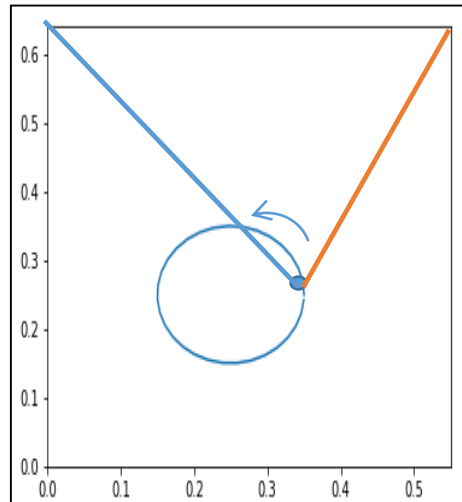
Trajectoire étudiée



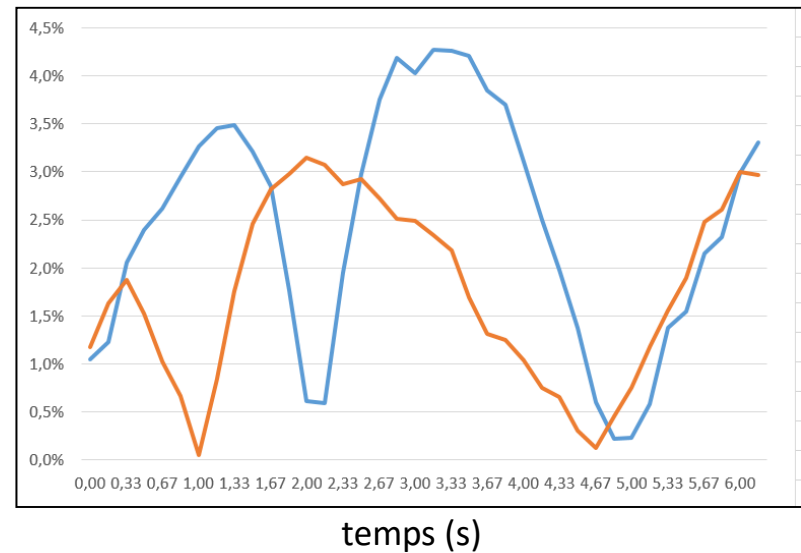
Evolution de la longueur des câbles



Modélisation trajectoire

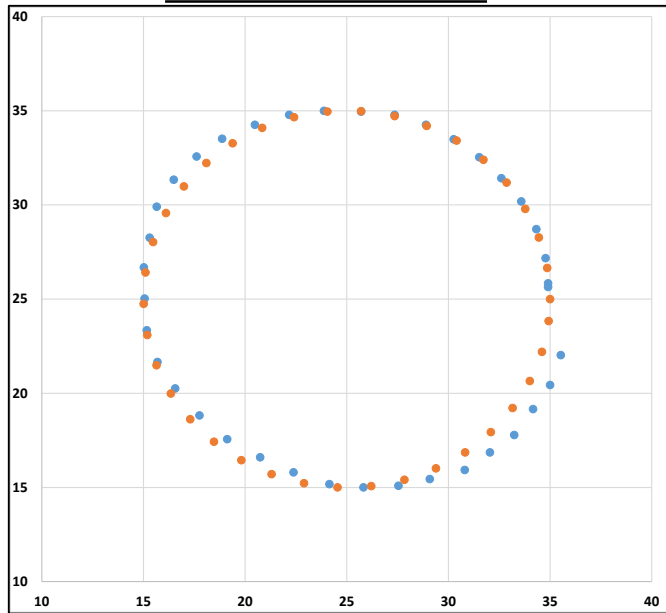


Erreur sur L1 et L2 (%)



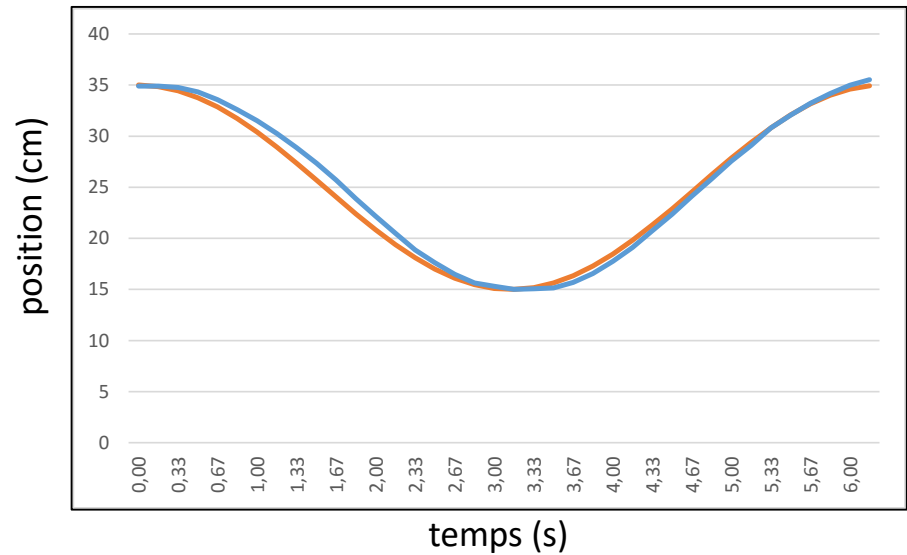
# Réponse du module a la commande souhaitée

Evolution du module

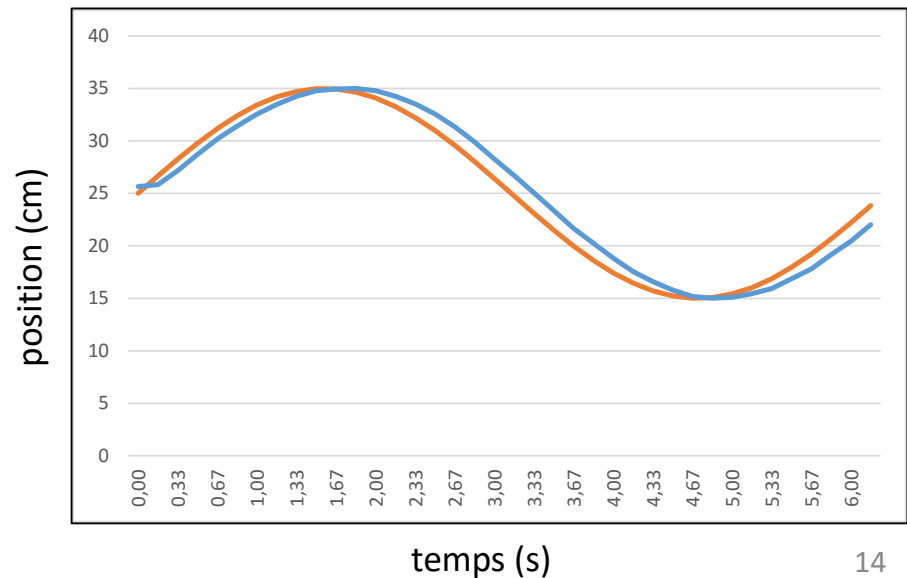


Trajectoire circulaire théorique (orange) et mesurées (bleu)

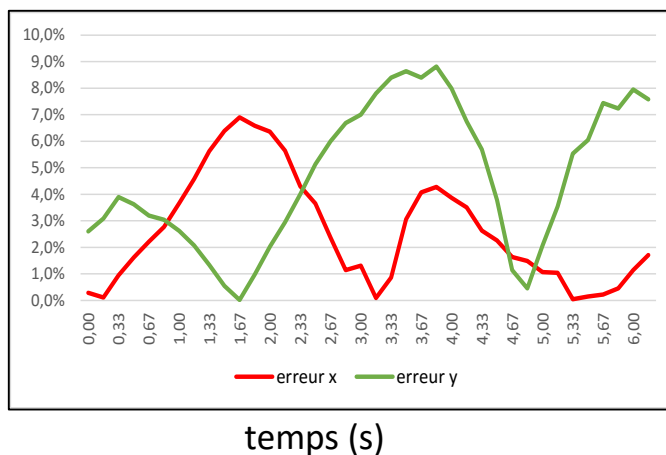
Evolution de x(t)



Evolution de y(t)

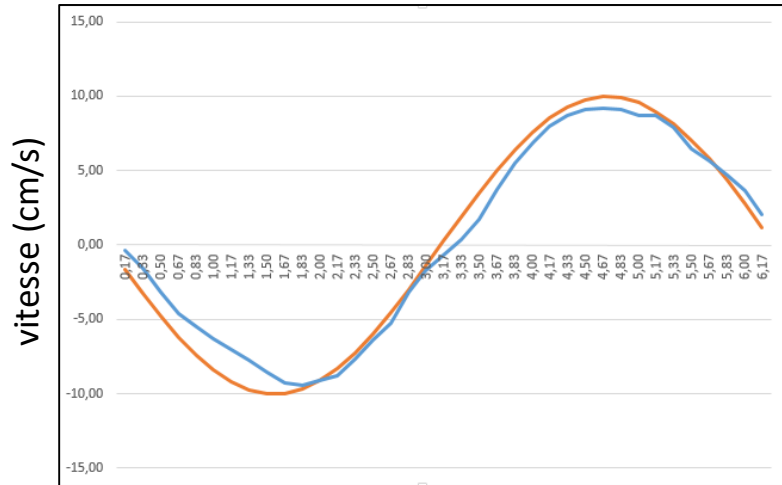


Erreur position (%)

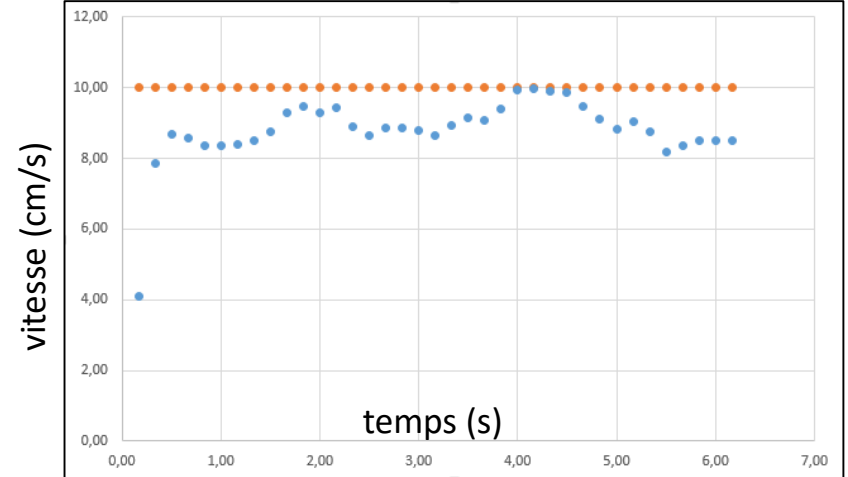


# Etude de la vitesse du module

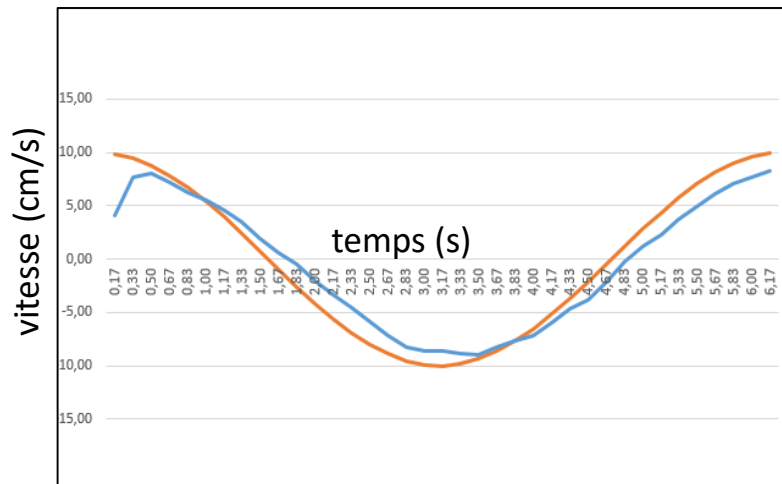
Evolution de  $V_x(t)$



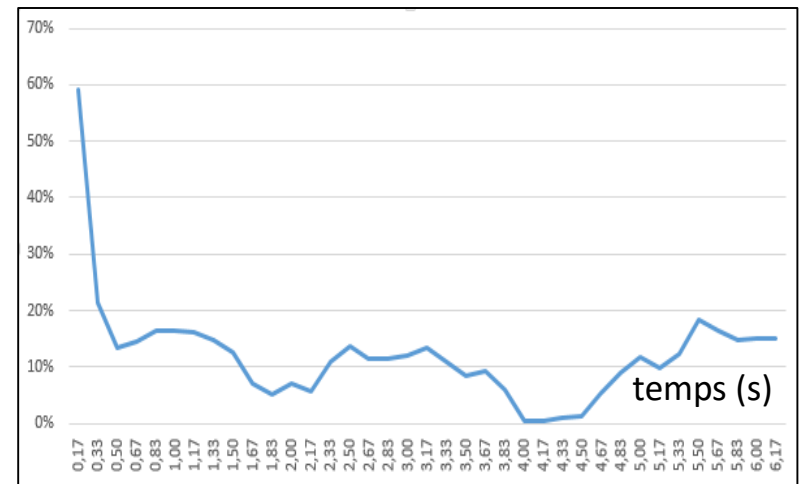
Evolution de  $V(t)$  (vitesse absolue)



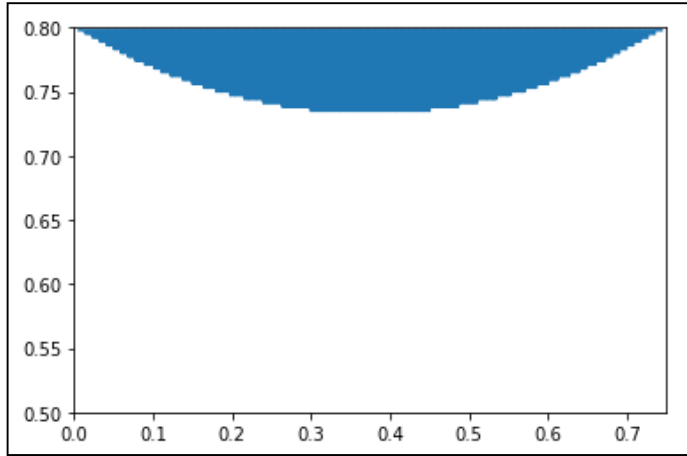
Evolution de  $V_y(t)$



Erreur de vitesse (%)



# Validation de l'espace de travail



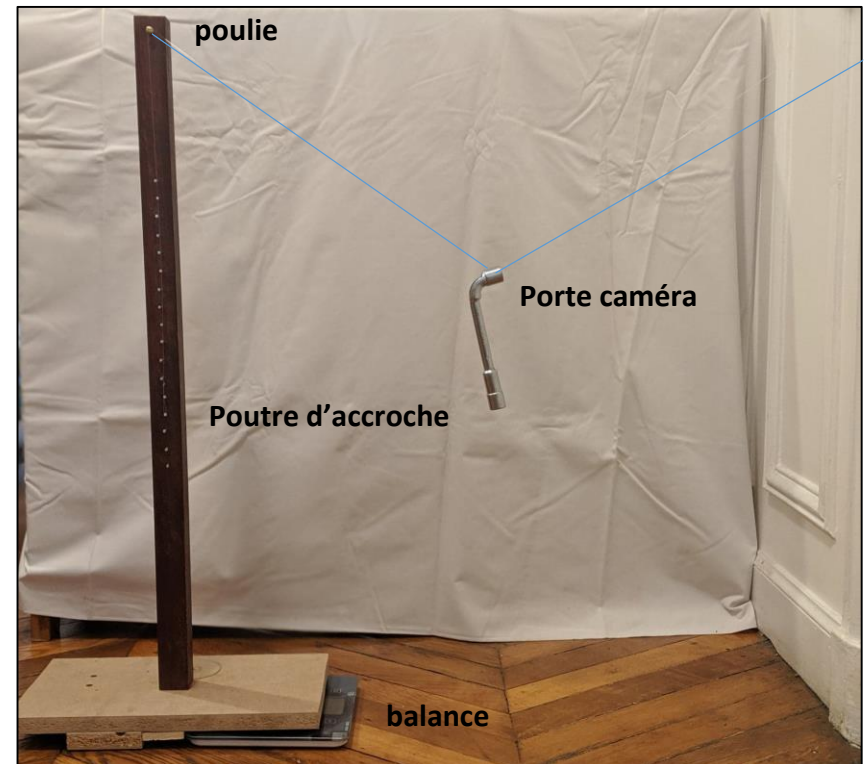
Espace de travail théorique pour masse  $m = 0,180 \text{ kg}$

ord./abs.	0,1	0,2	0,3	0,4	0,5	0,6	0,7
0,8							
0,77							
0,75							
0,72							
0,7							
0,67							
0,65							
0,62							
0,6							
0,57							

Espace de travail expérimental pour masse  $m = 0,180 \text{ kg}$

PFD appliqué au porte caméra

$$\begin{bmatrix} T_1 \\ T_2 \end{bmatrix} = \frac{1}{\sin(\theta_1 + \theta_2)} \begin{bmatrix} -\sin\theta_2 & \cos\theta_2 \\ \sin\theta_1 & \cos\theta_1 \end{bmatrix} \begin{bmatrix} 0 \\ mg \end{bmatrix}$$



Banc d'essai pour la mesure de force de tension



# Conclusion



```

1 from math import *
2 import numpy as np
3 import scipy.integrate as spint
4
5
6 "Construction de la matrice de changement de Base Cart.->Theta --"
7
8 def CalcPXTH(X,STADE,R):
9     """
10    Calcul de la matrice P
11    entrée :    X position (vecteur 3 composantes)
12                STADE taille du stade (vecteur 3 composantes)
13                R rayon des treuils (scalaire)
14    sortie : matrice 3x3
15    """
16    x=X[0]; y=X[1]; z=X[2]
17    d=STADE[0]; s=STADE[1]; v=STADE[2]
18    k=np.sqrt(x**2+y**2+z**2)
19    h=np.sqrt((d-x)**2+y**2+z**2)
20    m=np.sqrt((d-x)**2+(s-y)**2+z**2)
21    n=np.sqrt(x**2+(s-y)**2+z**2)
22
23    P=np.zeros((3,3))
24    P[0,0]=-(d-x)/m-(d-x)/h;          P[0,1]=-(s-y)/m+y/h;          P[0,2]=z/m+z/h;
25    P[1,0]=-(d-x)/m+x/n;          P[1,1]=-(s-y)/m-(s-y)/n;          P[1,2]=z/m+z/n;
26    P[2,0]=-(d-x)/m+x/n+x/k-(d-x)/h; P[2,1]=-(s-y)/m-(s-y)/n+y/k+y/h; P[2,2]=z/m+z/n+z/k+z/h;
27
28    return P/R
29

```

```
32 "Construction des matrices H1, H2, H3 de changement de Base Cart.->Theta v2.0-"
33
```

```
34 def CalcHXTH(X,STADE,R):
```

```
35     """
36     Calcul des matrices H1, H2, H3
37     entrée :   X position (vecteur 3 composantes)
38               STADE taille du stade (vecteur 3 composantes)
39               R rayon des treuils (scalaire)
```

```
40     sortie : H1,H2,H3 matrices 3x3
41     """
```

```
42     x=X[0]; y=X[1]; z=X[2]
43     d=STADE[0]; s=STADE[1]; v=STADE[0]
44     k=np.sqrt(x**2+y**2+z**2)
45     h=np.sqrt((d-x)**2+y**2+z**2)
46     m=np.sqrt((d-x)**2+(s-y)**2+z**2)
47     n=np.sqrt(x**2+(s-y)**2+z**2)
```

```
48     H1=np.zeros((3,3))
```

```
49     H1[0,0]=1/m+1/h-((d-x)**2)/m**3-((d-x)**2)/h**3;
50     H1[1,0]=- (d-x)*(s-y)/m**3+(d-x)*y/h**3;
51     H1[2,0]=(d-x)*z/m**3+(d-x)*z/h**3;
```

```
52     H2=np.zeros((3,3))
```

```
53     H2[0,0]=1/m+1/n-((d-x)**2)/m**3-(x**2)/n**3;
54     H2[1,0]=- (d-x)*(s-y)/m**3+x*(s-y)/n**3;
55     H2[2,0]=(d-x)*z/m**3-x*z/n**3;
```

```
56     H3=np.zeros((3,3))
```

```
57     H3[0,0]=1/m+1/n+1/k+1/h-((d-x)**2)/m**3-(x**2)/n**3-(x**2)/k**3-((d-x)**2)/h**3;
58     H3[1,0]=- (d-x)*(s-y)/m**3+x*(s-y)/n**3-x*y/k**3+(d-x)*y/h**3;
59     H3[2,0]=(d-x)*z/m**3-x*z/n**3-x*z/k**3+(d-x)*z/h**3;
```

```
60     return H1/R,H2/R,H3/R
```

```
50     H1[0,1]=- (d-x)*(s-y)/m**3+(d-x)*y/h**3;
51     H1[1,1]=1/m+1/h-((s-y)**2)/m**3-(y**2)/h**3;
52     H1[2,1]=(s-y)*z/m**3-y*z/h**3;
```

```
53     H2[0,1]=- (d-x)*(s-y)/m**3+x*(s-y)/n**3;
54     H2[1,1]=1/m+1/n-((s-y)**2)/m**3-((s-y)**2)/n**3;
55     H2[2,1]=(s-y)*z/m**3+(s-y)*z/n**3;
```

```
50     H1[0,2]=(d-x)*z/m**3+(d-x)*z/h**3;
51     H1[1,2]=(s-y)*z/m**3-y*z/h**3;
52     H1[2,2]=1/m+1/h-(z**2)/m**3-(z**2)/h**3;
```

```
53     H2[0,2]=(d-x)*z/m**3-x*z/n**3;
54     H2[1,2]=(s-y)*z/m**3+(s-y)*z/n**3;
55     H2[2,2]=1/m+1/n-(z**2)/m**3-(z**2)/n**3;
```

```
57     H3[0,1]=- (d-x)*(s-y)/m**3+x*(s-y)/n**3-x*y/k**3+(d-x)*y/h**3;
58     H3[1,1]=1/m+1/n+1/k+1/h-((s-y)**2)/m**3-((s-y)**2)/n**3-(y**2)/k**3-(y**2)/h**3;
59     H3[2,1]=(s-y)*z/m**3+(s-y)*z/n**3-y*z/k**3-y*z/h**3;
```

```
57     H3[0,2]=(d-x)*z/m**3-x*z/n**3-x*z/k**3+(d-x)*z/h**3;
58     H3[1,2]=(s-y)*z/m**3+(s-y)*z/n**3-y*z/k**3-(y**2)/h**3;
59     H3[2,2]=1/m+1/n+1/k+1/h-(z**2)/m**3-(z**2)/n**3;
```

```

68
69 "Détermination du trajet de référence en fonction du temps"
70
71
72 def TrajRef(Xdep,Xfin,tfin,t1,t2,STADE,R,timestep=0.001):
73     """
74     Calcul de la trajectoire de référence
75     entrée :   Xdep position de départ (vecteur colonne 3 composantes)
76               Xfin position d'arrivée (vecteur colonne 3 composantes)
77               tfin date d'arrivée (scalaire)
78               t1 date à la fin de la première accélération (scalaire)
79               t2 date au début du freinage (scalaire)
80               STADE taille du stade (vecteur 3 composantes)
81               R rayon des treuils (scalaire)
82               dt temps d'échantillonnage (scalaire - optionnel)
83     sortie : temps t (vecteur ligne taille N)
84               vitXref position de référence (matrice 3 lignes N colonnes)
85               posXref vitesse de référence (matrice 3 lignes N colonnes)
86               vitThref vitesse angulaire de référence (matrice 3 lignes N colonnes)
87               posThref position angulaire de référence (matrice 3 lignes N colonnes)
88     """
89     Nt=int((tfin-0)/timestep+1)
90     t,dt=np.linspace(0,tfin,Nt,retstep=True)
91
92     V0=2*(Xfin-Xdep)/(tfin+(t2-t1))
93     vitXref=(t<=t1)          *(V0*t/t1)+\
94             ((t>t1)*(t<=t2))*V0      +\
95             (t>t2)          *(-V0/(tfin-t2)*(t-t2)+V0)
96     posXref=(t<=t1)          *(V0*t**2/(2*t1)+Xdep)+\
97             ((t>t1)*(t<=t2))*(V0*(t-t1)+V0*t1/2+Xdep)+\
98             (t>t2)          *(-V0/(2*(tfin-t2))*(t-t2)**2+V0*(t-t1)+V0*t1/2+Xdep)
99     vitThref=np.zeros((3,Nt))
100     for i in range(Nt):
101         PXth=CalcPXTH(posXref[:,i],STADE,R)
102         vitThref[:,i]=np.dot(PXth,vitXref[:,i])
103         posThref=np.zeros((3,Nt))
104     for k in range(3):
105         posThref[k,:]=spint.cumtrapz(vitThref[k,:],initial=0)*dt
106
107     return t,vitXref,posXref,vitThref,posThref
108

```

```

112
113 def CalcConsigne(t,time,vitXref,posXref,vitThref,posThref):
114     """
115     Formation des signaux de consigne pour la régulation par interpolation
116     à partir du calcul de la trajectoire de référence
117     entrée : t date à laquelle on souhaite déterminer la consigne (scalaire)
118             time temps (vecteur ligne taille N)
119             vitXref position de référence (vecteur 3 lignes N colonnes)
120             posXref vitesse de référence (vecteur 3 lignes N colonnes)
121             vitThref vitesse angulaire de référence (vecteur 3 lignes N colonnes)
122             posThref position angulaire de référence (vecteur 3 lignes N colonnes)
123     sortie : X_pt0 vitesse de consigne (vecteur 3 colonnes)
124             X0 position de consigne (vecteur 3 colonnes)
125             Th_pt0 vitesse angulaire de consigne (vecteur 3 colonnes)
126             Th0 position angulaire de consigne (vecteur 3 colonnes)
127     """
128     X_pt0=np.zeros((3,1))
129     X0=np.zeros((3,1))
130     Th0=np.zeros((3,1))
131     Th_pt0=np.zeros((3,1))
132     for k in range(3):
133         X_pt0[k]=np.interp(t,time,vitXref[k,:])
134         X0[k]=np.interp(t,time,posXref[k,:])
135         Th_pt0[k]=np.interp(t,time,vitThref[k,:])
136         Th0[k]=np.interp(t,time,posThref[k,:])
137     return X_pt0,X0,Th_pt0,Th0
138

```

```

140
141 "Définition du système différentiel à résoudre"
142
143 def EqDiff(Y,t,STADE,R,mA,Sinv,L,G,g,Kpos,Kvit,time,vitXref,posXref,vitThref,posThref,Fpert):
144     """
145     Equation différentielle régissant le système (Y)'=f(Y,t)
146     entrée : Y vecteur 12 composantes
147             t temps (scalaire)
148             ... tous les arguments nécessaires au calcul
149     sortie : Y' vecteur 12 composantes
150
151     """
152     Ypt=np.zeros(12)
153     X = Y[0:3,None]
154     Xpt = Y[3:6,None]
155     Th = Y[6:9,None]
156     Thpt= Y[9:12,None]
157
158     P=CalcPXTH(X,STADE,R)
159     H1,H2,H3=CalcHXTH(X,STADE,R)
160     Xpt0,X0,Thpt0,Th0=CalcConsigne(t,time,vitXref,posXref,vitThref,posThref)
161
162     M=np.dot(P.transpose(),Sinv)/mA
163     N=np.linalg.inv(np.eye(3)+np.dot(np.dot(M,G),P))
164     A=np.array([[np.dot(np.dot(Xpt.transpose(),H1),Xpt)[0][0]], [np.dot(np.dot(Xpt.transpose(),H2),Xpt)[0][0]], [np.dot(np.dot(Xpt.transpose(),H3),Xpt)[0][0]]])
165     B=np.dot(L,Thpt)
166     C=Kpos*(Th0-Th)
167     D=Kvit*(Thpt0-Thpt)
168     E=-np.array([[0],[0],[g]])+Fpert(t)/mA
169
170
171     Ypt[0:3]=Xpt.transpose()
172     Ypt[6:9]=Thpt.transpose()
173     Xsec=np.dot(N,-np.dot(M,A)-np.dot(M,B)+np.dot(M,C)+np.dot(M,D)+E)
174     Thsec=np.dot(P,Xsec)+A
175     Ypt[3:6]=Xsec.transpose()
176     Ypt[9:12]=Thsec.transpose()
177
178     return Ypt

```

```

1 from IPython import get_ipython
2 get_ipython().magic('clear')
3 get_ipython().magic('reset -sf')
4
5 from math import *
6 from camerilib import *
7 import numpy as np
8 import matplotlib.pyplot as plt
9 import scipy.integrate as spint
10
11
12 "CONTEXTE"
13
14 dt=0.0001 # Période d'échantillonnage des signaux
15 g=9.81 # Accélération de la pesanteur
16 mA=1 # Masse de la caméra et du support
17 d=3.2; s=2.2; v=2.0; STADE=[d,s,v] # Dimension du stade
18 R=0.15 # Rayon des treuils
19 R1=0.917; R2=0.917; R3=0.917 # Résistance d'induit des moteurs
20 J1=1.5859; J2=1.5859; J3=1.5859; # Moment d'inertie des treuils
21 kI1=2.51945; kI2=2.51945; kI3=2.51945; # Constante liant couple et courant des moteurs
22 kE1=3.3942; kE2=3.3942; kE3=3.3942; # Constante liant vitesse et fem des moteurs
23 la1=0.0670; la2=0.0670; la3=0.0670; # Coefficient de frottement des moteurs
24 Kpos=4200; Kvit=130; # Gains des correcteurs
25 G=np.diag([R1*J1/kI1,R2*J2/kI2,R3*J3/kI3]) # Construction des matrices G, L et S
26 L=np.diag([kE1+la1*R1/kI1,kE2+la2*R2/kI2,kE3+la3*R3/kI3])
27 S=np.diag([R1/kI1,R2/kI2,R3/kI3]); Sinv=np.linalg.inv(S)
28
29 "Force de perturbation"
30
31 def Force_pert(t):
32
33     Fp=np.array([[(100*(sin(4*pi*t)+sin(32*pi*t)))],[0],[0]])
34     return Fp
35

```



```

54
55 "Résolution de l'équation différentielle"
56
57 #Conditions initiales
58 Y0=np.zeros(12)
59 Y0[0:3]=Xdep.transpose();
60
61
62 #résolution
63 Ysol=spint.odeint(EqDiff,Y0,time,args=(STADE,R,ma,Sinv,L,G,g,Kpos,Kvit,time,vitXref,posXref,vitThref,posThref,Force_pert))
64
65
66 #Extraction des valeurs à partir des solutions
67 x=Ysol[:,0]; y=Ysol[:,1]; z=Ysol[:,2];
68 xpt=Ysol[:,3]; ypt=Ysol[:,4]; zpt=Ysol[:,5];
69 TH1=Ysol[:,6]; TH2=Ysol[:,7]; TH3=Ysol[:,8];
70 TH1pt=Ysol[:,9]; TH2pt=Ysol[:,10]; TH3pt=Ysol[:,11];
71
72
73 #Calcul des forces de tension sur les 3 treuils
74 xptpt=np.gradient(xpt,dt)
75 yptpt=np.gradient(ypt,dt)
76 zptpt=np.gradient(zpt,dt)
77 F1=np.zeros(len(time))
78 F2=np.zeros(len(time))
79 F3=np.zeros(len(time))
80 for k in range(len(time)):
81     X=np.array([x[k]],y[k]],z[k]])
82     Xptpt=np.array([xptpt[k]],yptpt[k]],zptpt[k]])
83     P=CalcPXTTH(X,STADE,R)
84     F=ma/R*np.dot(np.linalg.inv(np.transpose(P)),Xptpt+np.array([[0],[0],[g]])-Force_pert(time[k])/ma)
85     F1[k]=F[0]; F2[k]=F[1]; F3[k]=F[2];
86
87
88 #Calcul de la tension aux bornes des moteurs
89 U1=np.zeros(len(time))
90 U2=np.zeros(len(time))
91 U3=np.zeros(len(time))
92 for k in range(len(time)):
93     X_pt0,X0,Th_pt0,Th0=CalcConsigne(time[k],time,vitXref,posXref,vitThref,posThref)
94     U1[k]=Kpos*(Th0[0]-TH1[k])+Kvit*(Th_pt0[0]-TH1pt[k])
95     U2[k]=Kpos*(Th0[1]-TH2[k])+Kvit*(Th_pt0[1]-TH2pt[k])
96     U3[k]=Kpos*(Th0[2]-TH3[k])+Kvit*(Th_pt0[2]-TH3pt[k])
97
98

```

```

>>
39 "Trajectoire de référence"
40
41 tfin=2.8
42 t1=0.6; t2=2.25
43 Xdep=np.array([[0.3],[1.8],[-0.2]])
44 Xfin=np.array([[0.9],[1.2],[-0.9]])
45
46
47 time,vitXref,posXref,vitThref,posThref=TrajRef(Xdep,Xfin,tfin,t1,t2,STADE,R,timestep=dt)
48 t=1.5
49 X_pt0,X0,Th_pt0,Th0=CalcConsigne(t,time,vitXref,posXref,vitThref,posThref)
50 print("Vmax=",np.sqrt(np.sum(X_pt0*X_pt0)))
51

```



```

200 def plan(seuil):
201     i=[]
202     j=[]
203     for x in arange(0,D,0.003):
204         for y in arange(0,H,0.003):
205             M=[x,y]
206             if (sin(th1(M)+th2(M)))!=0:
207                 if (m*g*(cos(th2(M))/sin(th1(M)+th2(M))))>seuil or (m*g*(cos(th1(M))/sin(th1(M)+th2(M))))>seuil:
208                     i.append(M[0])
209                     j.append(M[1])
210             k=100*(H-min(j))/H
211             return [i,j,k]
212
213 X= plan(5)[0]
214 Y= plan(5)[1]
215
216 p2=plt.plot(X,Y)
217 plt.axis([0,D,0.5,H])
218 plt.show()
219
220 print(plan(5)[2])
221

```